

WIADOMOŚCI METEOROLOGICZNE

wydawane przez Państwowy Instytut Meteorologiczny w Warszawie.

BULLETIN MÉTÉOROLOGIQUE

publié par l'Institut Central Météorologique à Varsovie.

WYKAZ TREŚCI.

	Str.
<i>Władysław Gorczyński</i> : O typie klimatycznym Polski	21
O przebiegu pogody w m. lutym 1923 r.	28
Tablice temperatur średnich i skrajnych w Polsce w m. lutym 1923 r.	29
Wysokości opadów i liczby dni z opadem w m. lutym 1923 r.	29
Bibliografja	31
Mapa opadów za m. luty 1923 r.	32

TABLE DES MATIÈRES.

	Page
<i>Władysław Gorczyński</i> : Sur le caractère climatique de la Pologne	21
Résumé climatologique du mois de Février 1923	28
Tables des températures moyennes et extrêmes en Pologne au mois de Février 1923	29
Précipitations en mm. et les nombres des jours avec précipitations au mois de Février 1923	29
Bibliographie	31
Carte des précipitations au mois de Février 1923	32

WŁADYSŁAW GORCZYŃSKI.

O typie klimatycznym Polski.

Sur le caractère climatique de la Pologne.

Klasyfikacja ogólna klimatów.

Pomiędzy różnymi podziałami klimatów na kuli ziemskiej najdogodniejszy na razie jest system grup wraz z dzielnicami klimatycznymi. System ten, praktykowany już przez *Supana* i *Herbertsona* (tylko dla lądów) oraz przez *Hulta*, zastosowaliśmy na nowo, rozróżniając tylko 22 grupy główne (z 64 dzielnicami wogóle).

Nie wchodząc w bliższe szczegóły tej klasyfikacji ¹⁾, ograniczymy się tutaj do podania nazw tych 22 grup.

I. Arktyczna.	IX. Pontyjsko-Azjatycka.	XVI. Afrykańsko-Indyjska.
II. Rosyjsko-Syberyjska.	X. Saharsko-Arabska.	XVII. Monsonów Indo-Australijskich.
III. Północno-Kanadyjska	XI. Pacyfiku Środkowego.	XVIII. Australijska.
IV. Kamczacko-Aleucka.	XII. Kordyljerów i And.	XIX. Pacyfiku Południowego.
V. Pacyfiku Północnego.	XIII. Amerykańska Międzyzwrotnikowa.	XX. Atlantyku Południowego
VI. Amerykańska.	XIV. Pasatu SE.	XXI. Podantarktyczna.
VII. Atlantycko-Europejska.	XV. Afrykańska Międzyzwrotnikowa.	XXII. Antarktyczna.
VIII. Atlantycko-Śródziemnomorska.		

¹⁾ Bliższe szczegóły podane są w książce autora p. t. „Nowe izotermy Polski, Europy i kuli ziemskiej” (Warszawa, 1918). Osobne odbicie z t. XXV „Pamiętnika Fizyograficznego”.

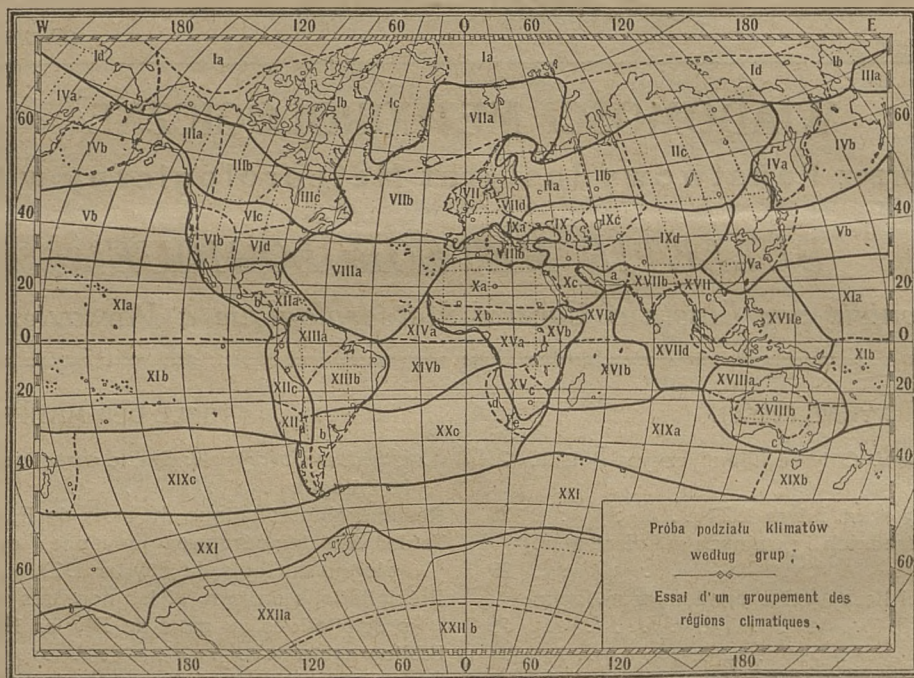


Fig. 1 A.

Położony między typem atlantyckim z jednej strony, a typami czarnomorskim i rosyjskim z drugiej strony, klimat Polski przedstawia w swej części zasadniczej dzielnicę wschodnią grupy atlantycko-europejskiej, figurującej jako grupa VII w powyższym schemacie.

Podział klimatyczny Europy.

Europa nie przedstawia w całości jednolitego typu klimatycznego. Wpływ oceanu i jego mórz drugorzędnych wyraźnie występuje przede wszystkim w Europie Zachodniej; mamy tu mniejsze wahania temperatury w związku z łagodnymi zimami i pochmurnym latem oraz dość równomierny rozkład opadów we wszystkich porach roku. Natomiast nizina Wschodnio-Europejska wykazuje bliższe podobieństwo raczej z Syberją, niż z częścią atlantycką Europy; wahania temperatury stają się tu znaczne, a i opady oraz wilgotność wykazują duże różnice w poszczególnych porach roku.

W części południowo-wschodniej występuje już prawie wyraźny okres suszy, który narusza tak ważną cechę typu atlantyckiego Europy Zachodniej, polegającą na występowaniu opadów we wszystkich miesiącach. Ten pontyjski typ klimatyczny z ostreymi zimami znajduje bezpośrednio swój ciąg dalszy w Azji Środkowej.

Europa Południowa przedstawia odmienną pod względem klimatycznym dziedzinę, charakteryzującą się łagodnymi zimami oraz upalnym i suchym latem; zależy to przede wszystkim od położenia krain śródziemnomorskich względem t. zw. maximum barometrycznego azorskiego. W lecie, gdy to maximum podzwrotnikowe przesuwa się ku północy, mamy na morzu Śródziemnym jasną i suchą pogodę; natomiast w chłodniejszej porze roku, gdy maximum azorskie leży dość daleko na południu, występuje przeciwnie pozazwrotnikowy układ prądów powietrznych z depresjami barometrycznymi tak, jak wogóle w Europie Zachodniej. Letnia pora suszy jest szczególnie charakterystyczna dla klimatu typu śródziemnomorskiego, który sięga aż do wybrzeży krymskich i kaukaskich poprzez morze Czarne.

Podział klimatyczny Europy wynika z omówionej już wyżej klasyfikacji kuli ziemskiej na grupy i dzielnice klimatyczne. Nowy ten podział różni się od dotychczas używanych w opracowaniach z geografii fizycznej i klimatologii.

W myśl tego podziału, z którego część odnosząca się do Europy przedstawiona jest na fig. 1, rozróżniamy w obrębie kontynentu europejskiego następujące grupy i dzielnice klimatyczne.

A) Grupa Atlantycko-Europejska (Grupa VII). Grupa ta posiada na kontynencie europejskim następujące dzielnice: nadbrzeżną atlantycką (VIIb według nomenklatury podanej na mapie), zachodnio-europejską (VIIc) i bałtycko-polską (VIId).

W dzielnicy zachodnio-europejskiej można wyróżnić dwa poddziały zasadnicze: poddział Europy NW i poddział alpejski.

Podobnie w dzielnicy bałtycko-polskiej wyróżnić się dają poddziały: polski, szwedzki, fiński i Bałtyku właściwego.

Poddziały te mogą być jeszcze dzielone na części mniejsze, jak tego przykładem jest np. podział *E. Romera* dla Polski, o którym będzie mowa poniżej.

B) Grupa Pontyjsko-Azjatycka (Grupa X), która w ograniczeniu do kontynentu Europy mogłaby nosić nazwę grupy pontyjsko-kaspijskiej.

Zawiera ona dzielnice: węgiersko-balkańską (IXa), czarnomorsko-kaukaską (IXb) i aralską (IXc).

Rozróżniać tu można szereg poddziałów, jak np. bałkański, węgierski i t. p.

C) Grupa Rosyjsko-Syberyjska (Grupa II) zawiera w obrębie Europy dzielnice rosyjską (IIa), w której wydzielić można poddziały: lapoński, podarktyczny i właściwy rosyjski.

D) Grupa Atlantycko-Śródziemnomorska (grupa VIII) zawiera dzielnice właściwą śródziemnomorską (VIIIb) z podziałami na część zachodnią, adryatycką wschodnią i morza Czarnego.

E) Grupa Arktyczna (I) reprezentowana jest tylko skrawkiem na wybrzeżach północnych Rosji od strony Oceanu Lodowatego.

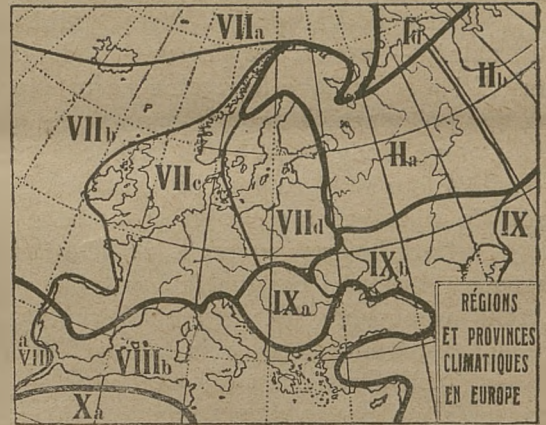


Fig. 1.
Podział Europy według grup i dzielnic klimatycznych.

Stanowisko uprzywilejowane Europy pod względem termicznym.

Porównywując temperatury średnie dla różnych miejscowości w Europie z odpowiednimi (położonymi w tych samych szerokościach geograficznych) danymi w innych częściach świata, widzimy odrazu (por. fig. 2 i fig. 3 na str. 24), jak uprzywilejowane stanowisko zajmuje pod tym względem klimat Europy.

Można wymienić trzy przyczyny, powodujące to uprzywilejowane stanowisko Europy; są to mianowicie: zachmurzenie, wiatry i prądy morskie.

1) Zachmurzenie jest dla całej Europy mniejsze w lecie niż w zimie. Silny stopień zachmurzenia sprowadza w porze zimowej podwyższenie, a w lecie spadek temperatury powietrza. Chociaż jednak charakter przebiegu rocznego zachmurzenia w Europie jest czynnikiem, wpływającym na ogólnie podniesienie temperatury, to jednak wpływem jego wytlómaczyć można niewielką tylko część nadmiaru ciepła naszej części świata.

2) Większe znaczenie posiadają wiatry zachodnie i południowo-zachodnie, wiejące z oceanu (częściowo z szerokości bardziej południowych) i przeważające w większej części Europy. Wobec wrzynających się głęboko mórz wewnętrznych (morze Północne, Bałtyk, morze Śródziemne i Czarne) oraz wód brzegowych, typ oceaniczny klimatu przenika tu głęboko wewnątrz lądu.

3) Najważniejszą zaś przyczyną przyjaznego pod względem termicznym stanowiska Europy jest wyjątkowy nadmiar ciepła w warstwie powierzchniowej oceanu Północno Atlantyckiego poza granicami strefy gorącej. Występuje to wyraźnie na mapach izanomal, które wykazują izanomale dodatnią nie tylko dla stycznia (z górą 25°), ale i dla lipca koło 2° w bliskości wybrzeży Norwegii ($\varphi: 70^{\circ} \text{N}$, $\lambda: 15^{\circ} \text{E. Gr.}$).

Ten właśnie ciepły nadmiernie obszar na Atlantyku, zwłaszcza między Szkocją, Islandją i Norwegią, wpływa w sposób najistotniejszy na klimat Europy. Wpływ ten uwydatnia się z jednej strony pośrednio, przyczyniając się do wytworzenia na tych obszarach dziedziny niższego ciśnienia, wska-

tek czego Europa posiada w zimie przeważające wiatry SW. Z drugiej zaś strony wpływ ten zachodzi także i bezpośrednio, gdyż nawet tak chłodne w Azji Wschodniej wiatry NW należą w Europie do względnie ciepłych w porze zimowej.

Ten nadmiar ciepła w wzmiankowanych częściach Atlantyku sięga aż do znacznych głębokości.

Przechodząc do przyczyny, powodującej tak wyjątkowe stanowisko części północnej Atlantyku, należy — wraz z *Köppenen* — podkreślić wpływ konfiguracji oceanu Atlantyckiego w kształcie litery S i jego wysoce korzystne położenie względem panujących wiatrów oraz mórz podbiegunowych na obu półkulach. Z nagrzanego wysoce obszaru zwrotnikowego wiatrów pasatowych w środku Atlantyku płyną wody wzdłuż linii brzegowej od Cap Roque do Florydy, skąd z wiatrami SW dążą do Europy. Wgięte w kierunku NE wybrzeża Europy Zachodniej ułatwiają nadto wtargnięcie tych ciepłych wód do wyższych szerokości geograficznych

Nadmienimy wreszcie, że zaopatrzenie w ciepłą wodę obszernej przestrzeni między Spitsbergenem i wyspami Bermudzkimi tylko w mniejszej części pochodzi od właściwego Gólfströmu, tej „rzeki” w oceanie, jak mówią marynarze; w rzeczywistości zaś mamy tu do czynienia z daleko rozleglejszym transportem mas wodnych w kierunku wyższych szerokości geograficznych.

Jest przytem rzeczą wiadomą, że nie tylko sama bliskość ciepłych prądów morskich jest rozstrzygającym czynnikiem klimatycznym, ale że miarodajnym jest tu wpływ panujących wiatrów; działanie cieplne prądów tam się bowiem wykaże, gdzie ono przez wiatry zostanie przyniesione. Wreszcie i stosunki zachmurzenia odgrywają ważną rolę na rozkład temperatury.

Wydzielenie znaczenia liczbowego każdego z poszczególnych czynników byłoby rzeczą ważną, lecz w stanie obecnym naszych wiadomości nie da się to skutecznie przeprowadzić.

Izanomale Europy i Polski.

Mapy izanomale (fig. 2 i fig. 3), wykreślone według nowych izoterm kuli ziemskiej, wskazują, że nigdzie „nadmiar” temperatury (w stosunku do wartości przeciętnych dla całych równoleżników) nie jest tak znaczny, jak np. w styczniu na Atlantyku w pobliżu wybrzeży północnych Norwegji. Ta przewyżka występuje przytem w Europie w ciągu całego roku, słabnąc od zimy ku latu.



Fig. 2.

Izanomale temperatury powietrza w styczniu.



Fig. 3.

Izanomale temperatury powietrza w lipcu.

Niewielkie wartości ujemne izanomale występują tylko w Rosji SE od października do marca, a nadto w części Atlantyku od maja do września, jak to wynika z fig. 3.

Szczegółowe mapy izanomal Europy ¹⁾ wskazują, że w Polsce izanomala dodatnia wynosi w styczniu 10° na wybrzeżach Bałtyku; spada ona następnie stopniowo ku południo-wschodowi i ku południowi (Warszawa +6°, Kijów +2°, Odessa +1°, Nagy-Szeben 0°). Reguła, według której morza są w porze zimowej cieplejsze od przyległych kontynentów, sprawdza się dla Bałtyku i dla morza Czarnego. Tak np. mamy w styczniu krzywą zamkniętą z izanomalą +15° w pobliżu wysp Alandzkich, gdy okolice Krystianji mają tylko +11°.

Podobnie występują w styczniu izanomale powyżej +5° w części wschodniej morza Czarnego, gdy we wnętrzu półwyspu Bałkańskiego mamy wtedy wartość ujemną (−1°).

W lipcu izanomale (stałe dodatnie w Polsce) wzrastają z zachodu ku wschodowi od +1° na linii Odry do +3° na wschód od Dniepru. W przeciwieństwie do zimy morza Bałtyckie i Czarne są w lecie stosunkowo mniej nagrzane od krajów przyległych; tak np. w części środkowej morza Czarnego spotykamy w lipcu niewielką izanomalę ujemną −0°, gdy w głębi Węgier i półwyspu Bałkańskiego występuje izanomala dodatnia powyżej 2°.

A więc jedną z cech charakterystycznych klimatu Polski jest „anomalja” termiczna stale dodatnia w ciągu całego roku i dla wszystkich części ziem posłkich. Stopień tego uprzywilejowania termicznego maleje jednak od Bałtyku ku morzu Czarnemu, jak to widać z poniższego zestawienia:

	Wartości izanomal dla pór roku				Dla roku
	Zima	Wiosna	Lato	Jesień	
Wybrzeże Bałtyckie . . .	9°	4°	2°	4°	5°
Niż środkowy	5°	3°	2°	2° ₅	3°
Okolice Odessy	2°	0°	1°	2° ₅	1°

Na wybrzeżach morza Czarnego wartości izanomal osiągają minimum na wiosnę. Na Bałtyku minimum jest w lecie, lecz wiosna jest nieco mniej uprzywilejowana, niż jesień, gdy w Polsce Środkowej stosunki zachodzą odwrotnie pod tym względem.

Temperatura powietrza.

Przechodząc do krótkiego rozpatrzenia — z punktu widzenia ogólnych cech geograficznych — charakteru przebiegu poszczególnych czynników klimatycznych na obszarze Polski w najszerszych granicach, rozpoczynamy od temperatury. Pod względem temperatury powietrza Polska stanowi krainę przejściową między bardziej oceanicznym klimatem Europy Zachodniej, a wyraźnie już kontynentalnym charakterem Europy Wschodniej.

Warto jest przytem zaznaczyć, że już w niektórych dotychczasowych klasyfikacjach klimatów kuli ziemskiej, opartych przedewszystkiem na przebiegach temperatury i opadów, indywidualne stanowisko klimatyczne Polski jest wyraźnie zaznaczone. Tak np. w znanym dziele „*Traité de géographie physique*” rozróżnia *E. de Martonne* specjalny klimat polski (w dziale klimatów umiarkowanych z okresem chłodnym), jako typ D₃ według jego klasyfikacji. Podobne rozróżnienie czyni także *R. Hult* w swej szczegółowej klasyfikacji klimatów, ogłoszonej w wydawnictwach Fińskiego Towarzystwa Geograficznego.

Zastosujmy do scharakteryzowania przebiegu temperatur w Polsce mapy izoamplitud, które się bardzo do tego celu nadają. Tak np. już *Woëikow* zaproponował przyjęcie izoamplitudy 23 stopni za granicę klimatyczną między Europą Zachodnią i Wschodnią. Izoamplituda ta, obliczana według różnic temperatur średnich dla miesięcy skrajnych w okresie rocznym, przebiega w przybliżeniu południkowo nieco na wschód od Warszawy. Właściwiej jednak będzie użyć w tym celu izoamplitudę 25 stopni; linja ta daje (dla okresu 1851/1900) granicę, biegnącą mniej więcej wzdłuż 28-go południka na wschód od Greenwich, dalej koło Dniepra aż do Kijowa, gdzie zawraca ona ku Karpatom, aby następnie skręcić ku Odessie, idąc wzdłuż wybrzeży czarnomorskich na wschód.

¹⁾ W powyżej już zaznaczonej publikacji p. t. „Nowe izotermy Polski, Europy i kuli ziemskiej” podane są izanomale Europy w formie mapek dodatkowych na mapach izoterm miesięcznych i rocznych.

Izoamplituda 25° na mapie Europy (por. fig. 4) nadaje się szczególnie dobrze do oddzielenia klimatów morskich i kontynentalnych. Rozgranicza ona oceaniczną Norwegję od kontynentalnej już Laponji, biegnie dalej mniej więcej koło krańców wschodnich Polski historycznej i skręca stąd na wschód, okrążając wybrzeża czarnomorskie. Zamknięte dziedziny z izoamplitudą powyżej 25° występują nadto, w formie niejako odprysków wyspowych, na Węgrzech i na półwyspie Bałkańskim.



Fig. 4.

Izoamplitudy Europy według temperatur średnich miesięcznych.

Na mapie izoamplitud kuli ziemskiej ¹⁾ wydzielić się dają w sposób naturalny następujące pięć grup:

I) Grupa okołorównikowa (z amplitudą do 2° .5) występuje po obu stronach równika pasem do dwudziestu stopni (od 10° N do 10° S) szerokości geograficznej.

II) Grupa oceaniczna (od 2° .5 do 10°) obejmuje obszerne przestrzenie wodne, panując bezwzględnie na morzach półkuli południowej do $\varphi = 60^{\circ}$ S. Na Atlantyku amplituda 10° dochodzi nawet do $\varphi = 70^{\circ}$ N, gdy na Oceanie Spokojnym sięga tylko 50° N.

III) Bardzo ważne znaczenie ma grupa przejściowo-morska z amplitudą od 10° do 25° . Przebieg jej w Europie widoczny jest z fig. 4; po okrążeniu morza Czarnego robi ona silny łuk ku wschodowi, aby po nowem wygięciu koło wyżyn Azji Mniejszej podążyć następnie ku Indochinom i Japonji. Gdy grupa ta ciągnie się pasem równoleżnikowym koło 10° szerokości w Azji i w Ameryce Północnej koło $\varphi = 20^{\circ}$ N, to pas ten wbija się niemal południkowo w górę ku częściom północnym Atlantyku i Pacyfiku. Jak widać z fig. 4, pas ten obejmuje całą Europę Zachodnią włącznie z Polską.

Na półkuli południowej amplitudy od 10° do 25° spotykamy albo jednolicie w pasie od 60° S do 80° S, albo też w postaci wysp zamkniętych w głębi wystających kontynentów Ameryki Południowej i Afryki oraz w Australji.

IV) Gdy grupa poprzednia ma charakter wyraźnie przejściowy, to grupy następne lądowa i skrajnie kontynentalna (z amplitudami od 25° do 40° i powyżej 40°) charakteryzują wyłącznie obszerne masy kontynentalne Azji i Ameryki Północnej, a prawdopodobnie także i okolice bieguna południowego.

V) Grupa skrajnie kontynentalna (z amplitudami powyżej 40°) obejmuje dziedziny zamknięte w Syberji i w Ameryce Arktycznej. Najwyższą izoamplitudę 65° znajdujemy w Syberji Wschodniej koło Werchojańska.

W Europie amplituda roczna temperatur średnich miesięcznych waha się koło 20° , wzrastając ku wschodowi. Tak np. gdy dla wysp Wielkiej Brytanji przyjąć można przeciętnie 10° , dla Francji 17° , dla Hiszpanji i Włoch powyżej 18° , dla Polski 23° , dla Węgier i Szwecji koło 25° , to dla Rosji Europejskiej wypada z górą 30° , a dla Syberji przeciętnie koło 50° .

Rubikon 25° , rozgraniczający izoamplitudy grupy przejściowo-morskiej od grupy lądowej, oddziela zarazem klimatycznie Rosję od Polski, która zasadniczo należy do klimatów grupy przejściowo-morskiej, leżąc już jednak na ich rubieży na swych kresach wschodnich.

Także i rozważanie przebiegu temperatur skrajnych w Europie wykazuje pewne swoiste w swej przejściowości cechy termiczne Polski.

Uważając skupianie się izoterm lub izoamplitud za pewną cechą graniczną, a ich rozsuwanie się jako raczej łączącą cechą łagodnej przejściowości w obrębie jednego i tego samego typu, widzi my (na mapie — fig. 5 — minimów oraz amplitud bezwzględnych temperatur), że takie zagęszczenia, charakterystyczne dla wybrzeży, występują na wschodzie ziem polskich z jednej strony w zatoce Fiń-

¹⁾ Por. W. Gorczyński: „Nowe izotermy Polski, Europy i kuli ziemskiej” (Warszawa, 1918).

skiej, a z drugiej na wybrzeżach morza Czarnego. Linia z minimum¹⁾ temperatury powietrza -35°C , lub z amplitudą bezwzględną 70° ma cechę rozgraniczającą dla typu klimatycznego polskiego. Na

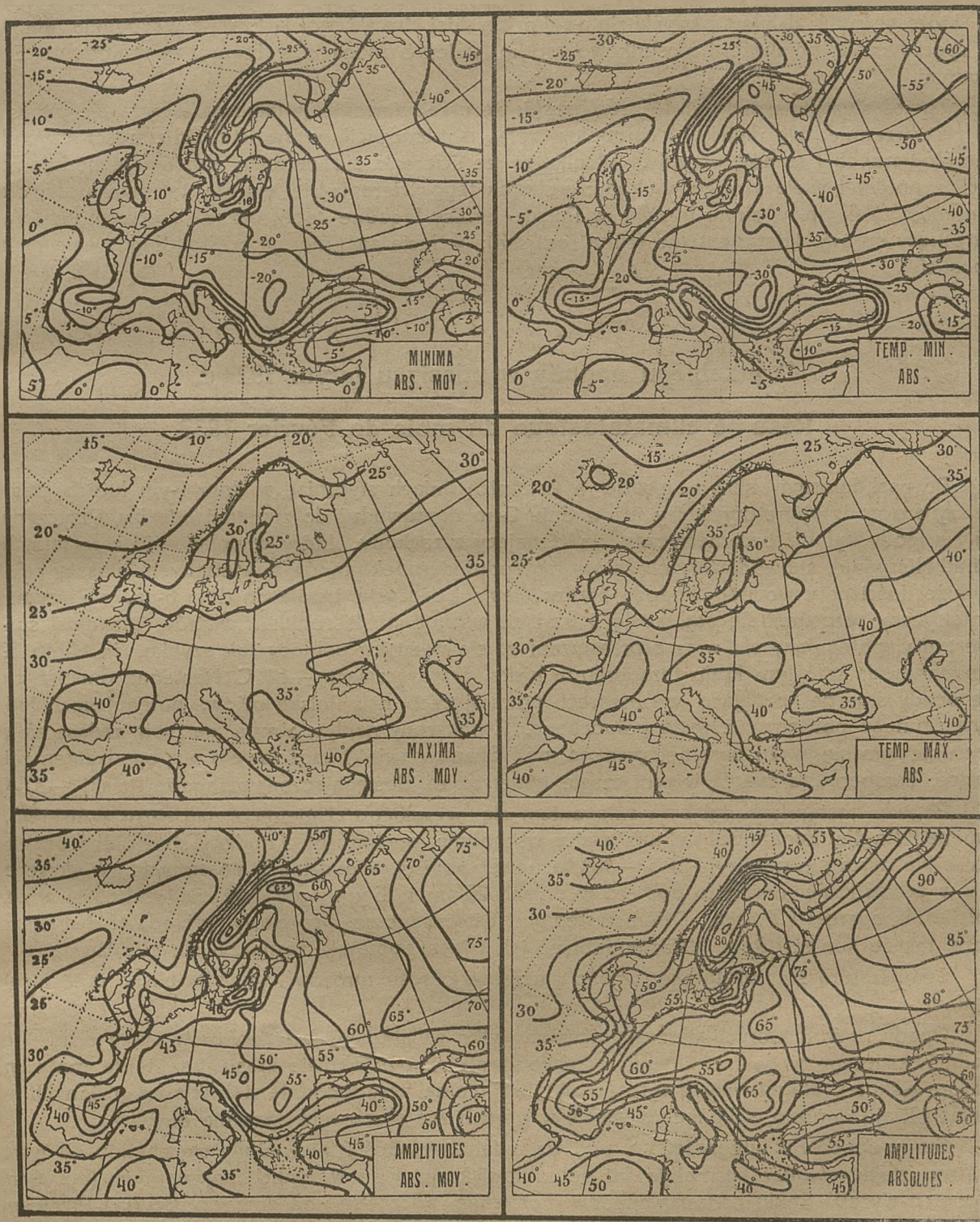


Fig. 5.

1) Przebieg maximów temperatury jest mniej doniosły dla rozpatrywanej przez nas kwestji; gdy krańce wyższe temperatury powietrza występują powszechnie i dość równomiernie na całym terytorjum Europy, krańce niższe mają przebieg bardziej indywidualny i stanowią pewną cechę swoistą danego kraju.

zachód od tej linii mamy charakterystyczne wygięcie minimów i amplitud ku zachodowi w kształcie litery *U*. Wygląda to tak, jakgdyby przez lukę między Karpatami i Bałtykiem (lub wyżyną Skandynawską) przedzierał się ku południo-zachodowi Europy wpływ tych chwilowych, lecz silnych oziębień, które wskutek działania zwyżki zimowej azjatyckiej charakteryzują Europę Wschodnią, ale które tylko sporadycznie pojawiać i stosunkowo krótko walczyć mogą z wpływami oceanicznymi Eropy Zachodniej.

To też słusznie zaznaczył *W. Natkowski*, że przejściowość klimatyczna wyraża się u nas nie tylko przestrzennie, ale niejako i chronologicznie, a mianowicie w swoistej zmienności czynników meteorologicznych i stanów pogody. Wynika to ze ścierania się ze sobą prądów zachodnio-atlantycznych z prądami wiejącymi ze wschodu; wskutek tego ścierania się wpływy te przesuwają często swe granice. Tak np. w zimie bywają w Polsce okresy łagodne „oceaniczne” (zima angielska), to znów okresy surowe kontynentalne (zima rosyjska); w lecie zaś mamy często długotrwałe deszcze lub posuchy.

(D. c. n.).

O przebiegu pogody w miesiącu lutym 1923 r.

Résumé climatologique du mois de Février 1923.

Po parudniowym silnym mrozie w ostatnich dniach stycznia, w dniu 1-ym lutego nastąpił silniejszy wzrost temperatury, który już w dniu 2-im doprowadził do zupełnej odwilży. Przyczyną tej zmiany pogody był niż barometryczny, naciągający z zachodu, który w połączeniu z wyżem, leżącym nad Hiszpanją, spowodował południowo-zachodni kierunek prądów powietrznych, niosący z Atlantyku duże ilości pary wodnej. Pogoda bardzo ciepła i dżdżysta trwała do dnia 6-go, w którym wyż barometryczny przesunął się nad Rosję, i wraz ze wschodnim kierunkiem wiatrów przyniósł spadek temperatury, potęgujący się wraz z przesuwaniem się wyżu ku północy tak szybko, że około 12-go lutego panowała w całym kraju temperatura niska, przekraczająca -10° C. Następne dni przyniosły obfite opady śnieżne, padające w obszarach powstających nad Polską niżów, potęgujących jednak napływ zimnego powietrza z wyżu północnego. Zwiększony napływ zimna nastąpił zwłaszcza wraz z przesunięciem się wyżu barometrycznego nad Skandynawję i częściowem wypogodzeniem nieba w Polsce. Temperatura spadła w tym czasie nader nisko, dosięgając na wschodzie Polski -20° C.

Pogoda następnych dni była zmaganiem się wysokiego ciśnienia z nad Rosji z niskiem, leżącym nad Anglią. Zapanowały u nas wiatry wschodnie, pochmurny i mglisty stan nieba oraz temperatura wahająca się między -5° i -10° , a nawet poniżej, w godzinach porannych. Większe ocieplenie w całym kraju nastąpiło dopiero w dniach 25-ym i 26-ym, gdy wyż na wschodzie znacznie osłabł, a niż ogarnął i Polskę. Dzień następny i ostatni lutego przyniosły już odwilż i miejscowe deszcze, tak że koniec lutego 1923, podobnie jak i jego początek, zaznaczył się odwilżą.

Temperatura średnia lutego, wobec dłuższego okresu mrozów, wypadła blisko o 1° niżej od normalnej.

Opady, wśród których deszcz notowano tylko wyjątkowo, były obfite w ciągu drugiej części dnia lutego w postaci śniegu i spowodowały w tym okresie czasu powstanie szaty śnieżnej, która wskutek długotrwałych mrozów istniała niemal trzy tygodnie i znikła na nizinnych przestrzeniach kraju dopiero w końcu miesiąca, w górach zaś przetrwała znacznie dłużej.

Sumy opadów z lutego 1923 r. pod względem wysokości nie różniły się zbytnio od normalnych, wzrastając również normalnie ku południowi kraju i na wyżynach pojeziernych (do 40 mm., a w górach wyżej). Lekki nadmiar opadów notowano począwszy od dorzeczy Bzury i Pilicy przez dorzecze Wisły Górnej do Warty Górnej (nadmiar dosięgnął tam 33%) oraz nad Dniestrem (maksymalny nadmiar dosięgnął miejscami 50%), niedobór zaś nad Bugiem, Narwią (słaby) i Niemnem, gdzie był już znaczny (blisko 40% normalnej wysokości opadów).

Temperatury średnie i skrajne w m. lutym 1923 r. w Polsce.

Températures moyennes et extrêmes en Pologne au mois de Février 1923.

	Temp. średn.	Max. (dn.)	Min. (dn.)		Temp. średn.	Max. (dn.)	Min. (dn.)
Gdynia *).	-2.9	7.0 (2)	-14.0 (21)	Wieliczka *).	-2.4	8.8 (2)	-13.2 (21)
Nowy Port	-3.1	8.0 (2)	-15.6 (22)	Nowy Targ *).	-4.0	7.3 (3)	-26.6 (19)
Chojnice	-3.3	7.5 (2)	-14.8 (23)	Zakopane	-4.9	6.8 (26)	-22.7 (19)
Bydgoszcz	-2.8	9.8 (2)	-19.4 (16)	Zazadnia *).	-4.5	6.2 (27)	-19.5 (19)
Słojka	-6.7	4.8 (27 i 28)	-24.0 (21)	Maniowy *).	-3.9	6.4 (4)	-22.7 (21)
Wilno	-8.4	1.7 (3)	-21.0 (19)	Sromowce Niżne *).	-2.6	8.0 (3)	-19.2 (21)
Bieniakonie	-9.0	2.1 (3)	-19.6 (24)	Krynica *).	-3.8	4.7 (28)	-21.8 (21)
Rohotna *).	-7.2	2.3 (28)	-16.8 (20)	Tylicz *).	-5.8	12.4 (23)	-2.60 (21)
Białowieża	-5.6	5.8 (27)	-21.5 (21)	Banica *).	-3.3	5.4 (2, 3, 28)	-18.0 (19)
Brześć Litewski	-4.4	7.5 (27)	-15.7 (21)	Świniarsko *).	-1.6	8.2 (3)	-18.6 (21)
Przegaliny	-3.5	6.2 (27)	-14.8 (21)	Tarnów	-1.5	9.1 (3)	-13.1 (20)
Kijany *).	-3.7	5.6 (3)	-14.1 (12)	Hebdom *).	-2.1	7.0 (4)	-12.7 (21)
Starościce	-3.7	6.9 (27)	-13.2 (24)	Sielec	-3.0	8.1 (3)	-17.5 (21)
Lublin	-3.2	6.0 (2)	-11.5 (12)	Kielce	-3.2	6.5 (2)	-15.1 (21)
Sobieszyn	-3.3	6.5 (2)	-15.0 (21)	Sandomierz	-2.7	7.2 (4)	-14.0 (12)
Puławy				Baranów *).	-2.4	7.4 (4)	-14.8 (21)
Radom	-2.9	7.8 (2)	-17.0 (21)	Mielec *).	-0.8	6.4 (28)	-13.6 (12)
Otwock	-3.3	6.5 (2)	-20.0 (21)	Głogów *).	-3.1	6.8 (4)	-18.6 (21)
Wądołki Borowe	-4.9	5.0 (3)	-24.0 (21)	Sędziszów *).	-1.4	8.0 (4)	-12.0 (21)
Warszawa St. Pomp.	-2.9	7.6 (4)	-17.1 (21)	Brzyszczyki *).	-1.2	7.5 (3)	-19.6 (21)
Joniec *).	-3.9	6.4 (3)	-21.0 (21)	Bukowsko *).	-2.4	6.0 (28)	-17.3 (21)
Opatowiec	-3.7	6.8 (2)	-18.0 (21)	Baligród *).	-2.5	5.8 (28)	-14.4 (21)
Łowicz	-2.4	8.5 (2)	-19.3 (21)	Sianki *).	-4.8	4.4 (4)	-17.2 (12)
Skierniewice	-2.7	8.7 (2)	-16.5 (21)	Dźwiniacz Górny	-4.3	4.8 (26)	-16.7 (21)
Łódź	-2.4	7.5 (2)	-13.0 (21)	Sanok *).	-2.4	7.8 (26)	-22.1 (21)
Brześć Kujawski	-2.1	9.0 (28)	-11.6 (12)	Medyka *).	-2.8	7.1 (4)	-15.1 (21)
Stary Brześć	-2.6	7.9 (28)	-15.8 (21)	Dolne *).	-2.7**)	6.4 (4)	-17.0 (21)
Włocławek *).	-2.4	6.9 (4)	-13.1 (21)	Milków *).	-3.2	6.0 (4 i 27)	-17.0 (21)
Ciechocinek	-2.7	10.4 (2)	-18.2 (21)	Wojślawice *).	-4.3	5.0 (27)	-15.6 (24)
Dobre	-2.8	7.7 (28)	-14.6 (16)	Sarny *).	-3.6	6.0 (4)	-16.0 (21)
Poznań (Uniwersytet)	-1.2	10.8 (2)	-10.5 (12)	Wola Dobrostańska	-3.9	4.4 (4)	-15.8 (21)
Pełkowo *).	-1.8	9.7 (2)	-11.6 (16)	Dublany	-4.6	6.2 (3)	-19.6 (24)
Zbiersk	-1.6	10.5 (28)	-12.5 (16)	Lwów (Politechnika).	-4.3	5.5 (3)	-16.0 (12)
Kalisz *).	-1.0	8.8 (2)	-10.5 (12)	Lwów (Zielona) *).	-4.6	7.0 (27)	-12.7 (21)
Sokolniki	-1.6	9.6 (2)	-12.6 (12)	Orchowice *).	-3.7	6.0 (4)	-15.2 (12)
Częstochowa	-2.0	9.4 (28)	-14.2 (12)	Sambor	-3.5	7.0 (4)	-17.0 (21)
Złoty Potok				Nowe Sioło *).	-4.3	5.4 (4)	-13.3 (12)
Olkusz	-2.4	8.3 (28)	-14.5 (12)	Porohy *).	-4.9	5.4 (3)	-15.6 (13)
Chrzanów *).	-2.0	7.8 (3)	-14.0 (12)	Doużyniec *).	-5.0	5.4 (25)	-16.3 (14)
Hermanice	-1.1	9.0 (4)	-17.8 (21)	Kołomyja *).	-5.0	6.4 (4)	-12.3 (12)
Istebna *).	-2.9	5.5 (4)	-14.6 (13)	Korzelić *).	-5.0	5.0 (4)	-16.0 (12)
Zywiec	-1.6	9.4 (3)	-19.2 (21)	Kiwerce *).	-5.5	3.3 (3)	-14.0 (21)
Rychwałd *).	-1.9	8.8 (4)	-18.8 (12)	Białokrynica	-6.0	4.4 (3)	-20.5 (24)
Wadowice *).	-0.4	11.4 (3)	-10.8 (21)	Jazłowiec	-4.6	5.0 (5)	-14.2 (21)
Kraków	-1.5	8.9 (3)	-12.8 (21)				
Mydlniki	-2.1	8.4 (4)	-15.0 (21)				

Wysokości opadów i liczby dni z opadem w lutym 1923 r.

Précipitations en mm et les nombres des jours avec précipitations au mois de Février 1923.

Stacje (pow.)	mm.	Liczba dni	Stacje (pow.)	mm	Liczba dni	Stacje (pow.)	mm.	Liczba dni
Bieg dolny Wisły (ter. zach. płocki oraz Kujawy).			Grodkowo (płocki)	29.0	12	Włocławek (włocławski)	32.9	9
			Lelice	22.5	10	Brześć Kujawski (włocławski)	39.7	14
			Niegłoty	19.7	5	Stary Brześć	8.5	11
Sierpc (sierpecki)	30.5	9	Opatowiec	20.8	13	Olganowo	33.2	11
Lipno (lipnowski)	31.7	11	Łąck (gostyński)	23.9	14	Dobre „Cukrownia” (niesz.)	21.8	16
Struzewo	24.8	9	Gołotczyzna (ciech. mazow.)	30.0	14	Dobre (nieszawski)	26.2	15

*) Maximum i minimum według spostrzeżeń terminowych.

**) Średnie miesięczne z 27 dni.

Stacje (pow.)	mm.	Liczba dni	Stacje (pow.)	mm.	Liczba dni	Stacje (pow.)	mm.	Liczba dni
Lubanie (nieszawski)	20.2	6	Sobienie Kielczewskie (garw.)	21.0	11	Głogów (rzeszowski)	26.1	7
Ciechocinek	30.2	14	Osmolice	22.0	8	Miłocin	30.3	9
Toruń (toruński)	28.0	13	Lublin (lubelski)	20.0	8	Budzów (myślenicki)	56.6	11
Bydgoszcz II (bydgoski)	24.6	13	Staroście (lubelski)	22.3	7	Osielec	57.4	12
Solec	29.6	15	Gułów (łukowski)	34.9	9	Raba Wyżna	48.8	9
Chelmino (chelmiński)	18.8	14	Kijany (lubartowski)	8.0	3	Chrzanów (chrzanowski)	39.9	7
Grudziądz (grudziądzki)	28.8	14	Krasienin	23.0	2	Krzyszowice	45.6	9
Wielka Kłonia (tucholski)	17.9	9	Czemierniki	21.8	11	Kraków (krakowski)	47.5	14
Chojnice (chojnicki)	38.4	9	Wałowice (janowski lub.)	24.9	8	Mydlniki	33.4	9
Janowo (gniewski)	30.8	15	Kotówka	31.3	9	Ujazd	46.8	13
Tczew (tczewski)	29.1	5	Sadki	51.3	15	Wieliczka (wielicki)	52.8	15
Góra (wejherowski)	48.3	14	Gościeradów	30.9	9	Dobczyce	22.5	13
Dorzecze Bzury (z Utratą i Rawką).			Urzędów	31.2	9	Kamienica (limanowski)	49.0	6
Gleba (warszawski)	22.9	14	Orłów (krasnostawski)	9.1	4	Dobra	55.6	11
Pszczelina (błotnicki)	23.6	11	Czysta-Dębina (krasnostaw.)	22.1	11	Bochnia (bochniański)	43.1	10
Chlewnia	22.1	5	Ruszów (zamojski)	17.3	9	Bochnia	55.2	12
Skierniewice (skierniewicki)	30.7	14	Wojślawice (chelmiński)	22.2	9	Ujście Solne	44.7	7
Studzieniec	37.3	15				Trzciana	47.1	12
Łowicz (łowicki)	29.9	13	Dorzecze Wisły Górnej.			Rozdziele	41.0	6
Krośniewice (kutnowski)	34.7	12	Sandomierz (sandomierski)	20.0	6	Grodkowice	41.0	15
Mieczysławów	18.0	8	Przewłoka	18.0	9	Uszew (brzeski)	40.4	13
Łaniaża	27.3	15	Zapusta (opatowski)	17.7	8	Zakliczyn	30.7	7
Strzelce	26.6	4	Hebdów (miechowski)	36.3	11	Brzyszczyki (jasielski)	21.2	7
Leśmierz (łęczycki)	29.5	8	Jakubowice	27.4	11	Olpiny	47.3	10
Skotniki	31.0	7	Radziemice	26.0	10	Krasna (krośnieński)	35.4	8
Trębki (gostyński)	47.8	12	Skrzeszowice	32.0	12	Tylawa	47.6	12
Zgierz (łódzki)	30.9	8	Stogniowice	27.9	13	Suchodół	35.2	10
			Szczepanowice	31.6	12	Świniarsko (nowosądecki)	35.3	6
Pilica oraz bieg śród. Wisły (str. lewa).			Wierzbno	28.6	6	Tęgoborze	19.8	8
Warszawa Stac. Pomp.	25.8	15	Kielce (kielecki)	39.3	13	Tylicz	60.5	13
Warszawa Filtry	26.7	16	Św. Krzyż	49.4	17	Krynica	74.0	9
Kaskada (warszawski)	22.4	13	Ameljówka	44.1	9	Łabowa	59.8	12
Ursynów	27.0	18	Snochowice	34.5	12	Wielopole Skrz. (ropczycki)	23.7	9
Grójec (grójecki)	37.5	6	Kurzelów (włoszczowski)	41.4	10	Sędziszów	20.7	7
Sielec	35.7	10	Szczekociny	31.7	9	Majdan Kolb. (kolbuszowski)	22.1	7
Trzylatków	34.1	6	Czarnca	43.3	15	Strzyżów (strzyżowski)	55.0	5
Kośmin	28.8	13	Jędrzejów (jędrzejowski)	35.0	13	Fryształ	41.9	7
Wólka Kozodawska (grójecki)	24.2	13	Małogoszcz	46.7	14	Bartne (gorlicki)	66.1	18
Drozdzy (grójecki)	31.9	10	Budziszowice (pińczowski)	25.3	9	Nowy Targ (nowotarski)	34.9	4
Radom (radomski)	29.3	15	Sielec	25.6	11	Czorsztyn	10.4	10
Skarżysko (konecki)	33.5	13	Szczeglin (stopnicki)	27.3	11	Zakopane	61.8	19
Słupia Stara (opatowski)	22.9	11	Kwasów	19.1	9	Zakopane „Odrodzenie” (nowotarski)	61.0	17
Miłków	25.5	3	Ilża (iłżecki)	8.1	5	Zazadnia	61.0	11
Iwaniska	26.0	3	Solec	30.6	7	Krościenko	51.7	17
Denków	20.0	10	Olkusz (olkuski)	49.8	16	Sromowce Niżne	32.7	11
Gierczyce	18.9	11	Sławków	54.6	11	Izdebki (brzozowski)	40.7	10
Łągów	31.7	9	Gołonóg (będziński)			Lisko (liski)	49.5	7
Wąchock (iłżecki)	29.0	7	Grodzic	44.3	3	Baligród	43.2	13
Gielniów (opoczyński)	20.0	5	Sosnowiec	40.3	12	Sanok (sanocki)	49.1	7
Malice (sandomierski)	26.5	4	Wysoka	36.6	14	Nowotaniec (sanocki)	41.0	6
Kruków	15.7	8	Wisła-Łabajów (bielski)	112.3	12	Rzepedź	54.3	11
Silnica (noworadomski)	41.5	11	Dziedzice	44.9	13	Szczawne	46.9	11
Koniecpol	37.0	14	Żywiec (żywiecki)	47.9	15	Bukowsko	44.4	7
Piotrków (piotrkowski)	41.5	16	Kamesznica (żywiecki)	84.9	8	Medyka (przemyski)	27.8	9
Bujny	33.7	7	Rychwałd	68.7	11	Niżankowice	40.3	15
Uszczyn	45.8	8	Sucha	51.5	11	Laszki (jarosławski)	24.6	9
Łęki Szlacheckie (piotr.)	31.4	11	Zadziele	66.4	10	Duńkowice	28.2	10
Mikołajów (brzeziński)	35.1	14	Zwardoń	27.0	4	Radymno	36.3	10
Budziszewice (rawski)	46.0	5	Porąbka (białski)	54.6	13	Majdan Sien.	49.5	7
			Kęty	55.9	15	Przeworsk (przeworski)	27.1	9
Wieprz (str. prawa) oraz bieg śród. Wisły.			Wadowice II (wadowicki)	49.2	12	Dolne	26.2	9
Praga-Warszawa (warszawski)	27.9	13	Wadowice	67.9	13	Kańczuga	27.7	11
Gołędzinów	25.7	11	Kalwarja Zeb.	29.0	5	Orchowice (mościcki)	28.1	11
Marcelin	24.1	8	Andrychów	37.1	11	Baranów (tarnobrzegi)	22.7	9
Szamocin	24.0	11	Zembrzyce	52.8	16	Wrzawy	13.0	3
Otwock	28.1	12	Grybów (grybowski)	51.5	11	Dzików	22.1	3
Garwolin (garwoliński)	33.7	15	Gródek	50.9	7	Leżajsk (łańcucki)	7.0	2
Sobieszyn	19.0	9	Banica	64.0	6	Grodzisko	27.5	12
Brzozowa	23.2	14	Szczucin (dąbrowski)	23.1	8	Łętownia (niski)	22.6	9
			Szczucin	28.2	9	Cieszanów (cieszanowski)	24.0	5
			Mielec (mielecki)	7.0	6	Miłków	27.8	12
			Wola Wadowska (mielecki)	26.1	9	Dźwiniacz Górny (turczański)	36.8	6
			Jaślany (mielecki)	18.3	7	Sianki	30.0	7
			Tarnów (tarnowski)	46.6	14	Jaworów (jaworowski)	32.2	9

Stacje (pow.)	mm.	Liczba dni	Stacje (pow.)	mm.	Liczba dni	Stacje (pow.)	mm.	Liczba dni
Sarny (jaworowski)	26.0	3	Dorzecze Odry (Warta, Proсна, Noteć).			Dorzecze Prutu.		
Kurniki "	23.5	8	Cienin (słupecki)	23.9	8	Kuty (kosowski)	19.6	11
Dorzecze Narwi (ter. płocki, tomż. i grodz.).			Jablonka "	18.9	8	Kosmacz "	47.7	3
Płońsk (płoński)	28.5	16	Kazimierz "	19.8	10	Kołomyja (kołomyjski)	21.1	7
Joniec "	29.4	13	Popielewo "	18.7	9	Dorzecze Dniestru.		
Konary "	26.2	6	Kalisz (kaliski)	35.3	13	Janów (grodzki)	34.2	11
Serock (pułtuski)	31.3	12	Kalisz "	31.5	15	Wola Dobrostańska (grodz.) .	38.2	14
Golańskowo "	34.1	16	Lisków "	38.3	14	Sambor (samborski)	35.4	10
Klice (ciechanowski)	28.5	10	Stawiszyn "	34.5	13	Czukiew "	8.4	8
Maków (makowski)	53.9	12	Morawin "	36.6	12	Wysocko Wyżne (turczański)	6.4	4
Różan "	13.9	13	Godziesze Wielkie (kaliski)	48.7	14	Wołcze "	29.2	10
Boguszyce (tomżyński)	22.6	15	Złotniki Wielkie "	39.1	7	Łomna "	16.1	7
Wądołki Borowe (tomżyński)	29.4	15	Zbiersk "	35.4	12	Kropiwnik (drohobycki) . . .	43.5	10
Wierzbowo "	26.9	10	Kościelec (kolski)	41.9	10	Litynia "	23.8	4
Bożejowo "	29.2	5	Gosławice (koniński)	21.3	12	Josefsberg "	30.0	3
Kolno (kolneński)	21.9	12	Ślesin "	19.1	3	Korzelice (przemysłański) . .	32.8	8
Romany "	29.0	16	Niemysłów (turecki)	20.5	10	Cebrów (tarnopolski)	15.3	7
Kisielnica "	20.5	11	Zdrojki "	26.6	10	Bolechów (doliniański)	30.7	9
Wojciechy (wys.-mazowiecki)	28.2	10	Popów "	10.4	7	Ottynia (tłumacki)	11.4	3
Krzyżewo "	18.8	7	Sucha Dolna (łęczycki)	23.0	8	Krasne (skałacki)	26.1	10
Dobki "	28.4	10	Bronszewice (sieradzki)	30.6	6	Jazłowiec (buczacki)	32.0	11
Ostrołęka (ostrołęcki)	31.4	14	Sokolniki (wieluński)	29.7	12	Bereźnica (stryjski)	37.4	5
Susk Stary "	31.9	10	Dziadaki "	36.9	12	Sokołów "	46.6	7
Grajewo (szczuczynski)	30.0	6	Mogilno (łaski) "	33.2	8	Nowe Siolo (żydaczowski) . . .	11.4	10
Białystok (białostocki)	20.0	6	Łódź (łódzki)	41.4	13	Doużyniec (nadworniański) . .	26.2	9
Białystok "	26.0	12	Strzelce Wielkie (noworad.) . .	21.4	10	Trembowa (trembowniański) . .	25.0	8
Słojka (sokołski)	24.2	10	Stobiecko Szlach. "	40.1	11	Założce (zborowski)	36.9	12
Bielsk (bielski)	31.4	7	Dobryszycze "	37.6	12	Kołodrubry (rudzki)	42.3	12
Targowisk (bielski)	27.2	9	Częstochowa (częstochowski)	50.1	13	Zbaraż (zbarazki)	42.1	7
Cichowola "	4.2	7	Złoty Potok "	31.6	9	Dorzecze Niemna.		
Hajnówka "	23.0	9	Opatów "	37.6	12	Wilno (wileński)	17.0	9
Dorzecze Bugu.			Herby "	48.2	5	Gulbiny "	22.8	9
Rybieńko (pułtuski)	28.0	10	Lipie "	9.1	9	Szczekowszczyzna (wilejski) .	10.5	8
Dąbrowa "	30.3	12	Malusy Wielkie "	80.7	10	Bakalarzewo (suwalski)	29.9	13
Ślepioty (ostrowski)	36.4	15	Popów "	41.8	5	Trempiny (kalwaryjski)	20.7	11
Janów Podl. (konstantynow.)	20.8	8	Zawiercie (będziński)	23.4	10	Józefatowo-Hańcza (august.)	27.0	8
Czeberaki "	24.8	13	Poznań (wschód, poznański)	29.8	15	Bieniakonie (lidzki)	7.5	4
Przelaginy (radzyński)	20.4	10	Goluń "	35.0	3	Pomorze (sejneński)	6.9	24
Mętna (białsko-siedlecki)	30.7	9	Wronczyn "	55.5	4	Stachnowo (słonimski)	26.6	11
Kryńszczak (łukowski)	26.1	10	Janikowo (inowrocławski)	24.1	13	Mozy (grodziński)	20.8	7
Liw (węgowski)	29.9	15	Kościan (kościański)	36.1	12	Derewna (kobryński)	24.7	7
Chełm (chełmski)	28.8	10	Zbietka (wągowiecki)	22.0	3	Nieśwież (nowogródzki)	24.2	12
Oksów "	24.6	9	Panigródz "	32.5	4	Marylin-Cerkliszki (święc.)	17.3	10
Tomaszów Lub. (tomaszow.)	57.5	10	Szamotuły (szamotulski)	26.8	7	Kosów Poleski (kosowski)	19.6	8
Józefów (biłgorajski)	26.5	8	Sękowo "	21.0	4	Berezwech (dziśnieński)	15.7	8
Wola "	36.3	11	Krotoszyn (krotoszyński)	46.5	14	Bałtyk.		
Teodorówka "	33.5	19	Rogożewo (rawicki)	32.4	8	Nowy Port (gdański)	30.6	15
Nowosiółki (hrubieszowski) . . .	24.3	11	Kruczowo (mogilnicki)	28.5	13	Hel (pucki)	28.2	7
Matcze "	26.9	10	Gozdanin "	8.5	3	Karwia "	47.6	6
Brześć Lit. (brzesko-litewski)	22.4	9	Żydowo (witkowski)	39.0	5	Oksywja "	19.4	9
Dubica "	19.1	6	Bieganowo (wrześniański)	26.3	7	Gdynia "	47.8	13
Białowieża (białowiecki)	26.8	9	Kościanki "	36.3	10	Dniepr.		
Włodzimierz (włodzimierski)	27.1	9	Pętkowo (średzki)	30.3	6	Białokrynica (krzemieniecki)	25.1	8
Lwów Polił. (lwowski)	38.8	13	Białcz (śmigiełski)	44.7	6	Radziechów (radziechowski) . .	40.0	11
Lwów Zielona "	41.4	13	Wydawy (gostyński)	22.0	7	Kiwercze (łucki)	11.0	2
Barszczowice "	12.0	5	Gostyczyna (ostrowski)	41.2	21	Poczapów (piński)	22.2	9
Dublan "	24.9	13	Kruszwica (strzelnowski)	20.4	10	Równne (równieński)	43.8	10
Przystań (żółkiewski)	65.0	10	Czarny Sad (koźmiński)	33.9	4	Połowkowicze (nieświecki) . . .	17.4	7
Korczyn (sokołski)	30.5	13	Lubowice (gnieźnieński)	40.0	4			
Wojślawice "	29.9	11	Gniezno "	33.8	6			
Podhorce (złoczowski)	29.6	11	Gniezno "	98.8	20			
			Braciszewo "	53.2	14			
			Cieszyn (cieszyński)	43.6	9			
			Istebna "	113.8	12			
			Hermanice "	49.9	12			
			Brzęczkowice (katowicki)	44.7	13			
			Wozniki (lubliniecki)	50.7	14			

Bibliografja. — Bibliographie.

Annual report and results of meteorological observations for the year 1921 at the Southport auxiliary observatory (Meteorological Office, London, 1922).

Władysław Smosarski: Temperatura i opady w Wielkopolsce podług obserwacji wieloletnich (Odbitka z „Roczników Nauk Rolniczych”. Tom IX. Poznań, 1923).

C. I. H. Speerschnider: Om isforholdene i Danske farvande i aeldre og nyere tid aarene 690—1860 (Det Danske Meteorologiske Institut. Kjøbenhavn, 1915).

Monthly Bulletin of the Imperial Observatory Kobe, Vol. I, № 3, 4, 5, 6 (Kobe, Japan. 1922).

K. Szulc: Praca naukowa na prowincji w zakresie obserwacji meteorologicznych (Odbitka z tomu IV „Nauka Polska”. Warszawa, 1923).

La meteorologia pratica: № 5—6, Settembre—Dicembre, 1922 (Montecassino, 1922).

Boletim Meteorologico anno de 1916 (Ministerio da Agricultura, Industria e Commercio, Directoria de Meteorologia. Rio de Janeiro, 1922).

